

การประเมินการแทรกซึมของคลอไรด์ระยะยาวในคอนกรีตภายใต้สิ่งแวดล้อมทะเลจาก ผลทดสอบโดยวิธี Bulk diffusion test

Evaluation of Long Term Chloride Penetration in Concrete under Marine Environment
by Bulk Diffusion Test Method

ปุณยารี นิลรัตน์¹ วัฒนา พุทธา¹ และวิเชียร ชาลี^{1*}

Punyavee Ninrat¹, Wattana Puttota¹ and Wichian Chalee^{1*}

¹ภาควิชาวิศวกรรมโยธา คณะวิศวกรรมศาสตร์ มหาวิทยาลัยบูรพา

¹Department of Civil Engineering, Faculty of Engineering, Burapha University

ถนนที่รับปบทความ 12 มิถุนายน พ.ศ. 2557

วันที่ตอบรับดีพิมพ์ 14 พฤษภาคม พ.ศ. 2557

บทคัดย่อ

งานวิจัยนี้ศึกษาการประเมินการแทรกซึมของคลอไรด์ระยะยาวในคอนกรีตภายใต้สิ่งแวดล้อมทะเล จากผลทดสอบโดยวิธี Bulk diffusion test โดยใช้ส่วนผสมคอนกรีตที่แทนที่ปูนซีเมนต์ปอร์ตแลนด์ประเภทที่ 1 ด้วยถ่านหินจากแม่น้ำ ในอัตราส่วนร้อยละ 0 15 25 35 และ 50 โดยนำหินก้อนสุดประสาณ และมีอัตราส่วนน้ำต่อวัสดุประสาณ 0.45 0.55 และ 0.65 (ส่วนผสมเดียวกับคอนกรีตที่แข็งในสิ่งแวดล้อมทะเลเป็นเวลา 12 ปี) หล่อตัวอย่างคอนกรีตทรงกระบอกขนาดเส้นผ่าศูนย์กลาง 100 มม. สูง 200 มม. เพื่อทดสอบการแทรกซึมของคลอไรด์โดยวิธี Bulk diffusion test (แข็งตัวอย่างคอนกรีตในสารละลายโซเดียมคลอไรด์ (NaCl) เข้มข้น 2.8 มอลาร์ เป็นเวลา 35 วัน) นอกจากนั้น ได้เก็บตัวอย่างคอนกรีตที่แข็งในน้ำทะเลบริเวณน้ำขึ้นน้ำลงเป็นเวลา 12 ปี มาทดสอบการแทรกซึมของคลอไรด์โดยใช้น้ำเป็นตัวทำละลาย ผลการศึกษาพบว่า การใช้ถ่านหินแทนที่ปูนซีเมนต์ปอร์ตแลนด์ประเภทที่ 1 ในปริมาณที่มากขึ้น สงผลให้การแทรกซึมของคลอไรด์ที่ทดสอบโดยวิธี Bulk diffusion test มีแนวโน้มลดลง และเป็นไปในทิศทางเดียวกับสัมประสิทธิ์การแทรกซึมของคลอไรด์ในคอนกรีตหลังแข็งในสิ่งแวดล้อมทะเลเป็นเวลา 12 ปี นอกจากนั้น คอนกรีตที่มีอัตราส่วนน้ำต่อวัสดุประสาณที่ต่ำลง สงผลให้การแทรกซึมของคลอไรด์ในคอนกรีตตามความค่าลดลงมากกว่าคอนกรีตที่ผสมถ่านหิน การศึกษาครั้งนี้ สามารถประเมินการแทรกซึมของคลอไรด์ในคอนกรีตที่แข็งในสิ่งแวดล้อมทะเลระยะยาว จากผลการทดสอบโดยวิธี Bulk diffusion test ได้

คำสำคัญ : การแทรกซึมคลอไรด์ สิ่งแวดล้อมทะเล วิธี Bulk diffusion test เถ้าถ่านหิน

*Corresponding author. E-mail: wichian@buu.ac.th

Abstract

This research aimed to evaluate the long term chloride penetration of concrete under marine environment from the Bulk diffusion test method. Fly ash concretes were cast by using fly ash from Mae Moh power plant to partially replace Portland cement type I at percentages of 0, 15, 25, 35 and 50 by weight of binder. Water to binder ratios (W/B) were varied at 0.45, 0.55, and 0.65. (the same mix proportions of concrete exposed to marine site for 12 years). The cylindrical specimen with 100-mm in diameter and 200-mm in height were cast for Bulk diffusion test (concrete specimens were exposed to 2.8 M of NaCl concentration for 35 days). In addition, water soluble chlorides in the concrete were measured after the concrete was exposed to the tidal zone for 12 years. The results show that the chloride penetration of concrete from Bulk diffusion test decrease with the increase of fly ash replacement of Portland cement type I, which is the same trend of chloride diffusion coefficient of 12-year exposure in marine site. In addition, when the W/B ratio of concrete was reduced, the decrease of chloride penetration in normal concrete was higher than that of the fly ash concrete. The results of bulk diffusion test in this study can be used to evaluate the chloride penetration of fly ash concrete under long term exposure in marine environment.

Key words : chloride penetration, marine environment, Bulk diffusion test method, fly ash

บทนำ

โครงสร้างคอนกรีตเสริมเหล็กที่ใช้งานในสภาพแวดล้อมทะเล มีการกัดกร่อนที่ก่อเกิดความเสียหายกับโครงสร้างได้เร็วกว่าโครงสร้างปกติ โดยการทำลายส่วนใหญ่เกิดจากเกลือคลอไรด์ที่เร่งให้สนิมในเหล็กเสริมคอนกรีต เกิดขึ้นได้อย่างรวดเร็ว ขยายตัวและดันคอนกรีตให้เกิดการแตกร้าวเสียหาย ตลอดจนการรับแรงเขึงกลของเหล็กเสริม และคอนกรีตลดลงอย่างชัดเจน (Neville, 1996 ; Dimitri Val *et al.*, 2003 ; Chalee *et al.*, 2010 ; Cheewaket *et al.*, 2012) โดยทั่วไปสารประภากลุ่มคลอไรด์จะไม่ส่งผลที่เป็นอันตรายกับเนื้อของคอนกรีตที่ไม่มีเหล็กเสริม ซึ่งจากการวิจัยที่ผ่านมา (Kaushik and Islam, 1995) พบว่า การใช้น้ำที่มีเกลือคลอไรด์ผสมในคอนกรีตกลับส่งผลให้คอนกรีตมีกำลังอัดสูงขึ้น แต่การใช้งานของคอนกรีตในโครงสร้างทั่วไป จำเป็นต้องมีเหล็กเสริมในคอนกรีตเพื่อใช้วรับแรงดึงคอนกรีตที่มีเหล็กเสริมจะส่งผลให้การทำลายเนื่องจากคลอไรด์ต่อโครงสร้างคอนกรีตมีความชัดเจนและรุนแรงมากขึ้น

การวัดการแทรกซึมของคลอไรด์ในคอนกรีตสามารถทำได้หลายวิธี เช่น การทดสอบความต้านทานต่อการแทรกซึมของคลอไรด์ โดยวิธีเร่ง (Rapid chloride penetration test) วิธี Bulk diffusion test วิธี Salt ponding และวิธีเฉดสี (Colorimetric technique) เป็นต้น ซึ่งแต่ละวิธีมีเงื่อนไขของการทดสอบที่แตกต่างกัน ทั้งด้านระยะเวลาที่ใช้ทดสอบ กระบวนการทดสอบ ตลอดจนผลที่ได้จากการทดสอบก็แสดงค่าแตกต่างกัน การทดสอบความสามารถในการต้านทานการแทรกซึมของคลอไรด์ในคอนกรีต มักแสดงผลในลักษณะของแนวโน้มในการต้านทานคลอไรด์โดยเฉพาะในการทดสอบที่ใช้ระยะเวลาสั้น อย่างไรก็ตาม ข้อมูลด้านความคงทนของคอนกรีต จำเป็นต้องทราบอัตรา

การแทรกซึมของคลอไรด์ที่แสดงค่าจักริจจากการแทรกซึมในสภาวะธรรมชาติ ที่ตัวอย่างคอนกรีตสัมผัสอยู่ เพื่อให้สามารถวิเคราะห์สถานะการกัดกร่อนภายในได้ระยะเวลาที่โครงสร้างมีการใช้งานได้อย่างถูกต้องมากขึ้น แต่ในการทดสอบเพื่อให้ได้ข้อมูลดังกล่าวต้องใช้ระยะเวลาในการศึกษาอย่างนาน ตลอดจนเสียค่าใช้จ่ายค่อนข้างสูง ดังนั้นถ้ามีการศึกษาเพื่อหาความสัมพันธ์ระหว่างผลการทดสอบของการแทรกซึมของคลอไรด์ในคอนกรีต ที่ทำได้ง่ายในระยะเวลาสั้นกับผลการทดสอบที่ต้องใช้ระยะเวลาอย่างนาน ก็จะเป็นประโยชน์ต่อการศึกษาพัฒนาระบบด้านความคงทนที่ทำให้ประหยัดค่าใช้จ่ายและเวลาได้

การทดสอบความสามารถในการดักจับการแทรกซึมของคลอไรด์ในคอนกรีตโดยวิธี Bulk diffusion test ตามมาตรฐาน ASTM C1556 เป็นวิธีที่สามารถทำได้ง่ายในห้องปฏิบัติการ ใช้ระยะเวลาในการทดสอบ 35 วัน โดยผลการทดสอบแสดงในรูปของเส้นกราฟการแทรกซึมของคลอไรด์ (chloride penetration profile) และสามารถใช้ในการวิเคราะห์หากค่าสัมประสิทธิ์การแทรกซึมของคลอไรด์ในคอนกรีตได้ ดังนั้นการศึกษาครั้นนี้ จึงมีวัตถุประสงค์เพื่อทดสอบหากการแทรกซึมของคลอไรด์ในคอนกรีตที่ผสมเด็ก่านหินโดยวิธี Bulk diffusion test ที่วัดผลการแทรกซึมโดยการไทเทเรต (titration test) โดยใช้น้ำเป็นตัวทำละลายตามมาตรฐาน ASTM C 1218 ซึ่งเป็นวิธีที่ทดสอบในห้องปฏิบัติการที่ทำได้ง่าย และให้ข้อมูลการแทรกซึมของคลอไรด์ในคอนกรีตที่ครบถ้วน เพื่อใช้ผลดังกล่าวในการประเมินสัมประสิทธิ์การแทรกซึมของคลอไรด์ในคอนกรีตที่แข็งในน้ำทะเล เป็นเวลานานถึง 12 ปี ที่จากปริมาณคลอไรด์ในคอนกรีตที่ทดสอบตาม ASTM C 1218 ซึ่งเป็นการประเมินผลทดสอบการแทรกซึมของคลอไรด์ในคอนกรีตที่แข็งในสิ่งแวดล้อมทะเลบริเวณชายฝั่ง (tidal zone) จากวิธีการทดสอบที่ทำได้ง่ายและรวดเร็ว เพื่อเป็นฐานข้อมูลในการออกแบบโครงสร้างคอนกรีตเสริมเหล็กที่ต้องการใช้งานบริเวณชายฝั่งทะเล ตลอดจนอาจใช้เป็นข้อมูลในการประเมินสถานะการกัดกร่อนโครงสร้างคอนกรีตเสริมเหล็กที่อยู่ระหว่างการใช้งาน เพื่อวางแผนบำรุงรักษาและซ่อมแซมโครงสร้างดังกล่าวได้อย่างมีประสิทธิภาพ

วิธีการวิจัย

วัสดุประสาน

การศึกษานี้ใช้ปูนซีเมนต์ปอร์ตแลนด์ประเภทที่ 1 และเด็ก่านหินเป็นวัสดุประสานดังนี้

เด็ก่านหิน

การศึกษาครั้นนี้ใช้เด็ก่านหินที่ได้จากโรงไฟฟ้าแม่مه้าซึ่งมีความถ่วงจำเพาะ เท่ากับ 2.22 มีอนุภาคที่ต้องตะแกรงเบอร์ 325 ร้อยละ 31 โดยน้ำหนัก ซึ่งเป็นไปตามมาตรฐาน ASTM C 618 ที่กำหนดไว้ไม่เกินร้อยละ 34 โดยน้ำหนัก สำหรับองค์ประกอบทางเคมีของเด็ก่านหินแม่مه้า มีผลรวมของสารประกอบหลัก SiO_2 , Al_2O_3 และ Fe_2O_3 เท่ากับร้อยละ 74.34 และ มีค่า LOI ร้อยละ 0.11 ซึ่งจัดเป็นเด็ก่านหิน Class F ตามมาตรฐาน ASTM C 618 โดยองค์ประกอบทางเคมีของวัสดุประสาน แสดงดังตารางที่ 1

ปูนซีเมนต์ปอร์ตแลนด์ประเภทที่ 1

ความถ่วงจำเพาะของปูนซีเมนต์ปอร์ตแลนด์ประเภทที่ 1 เท่ากับ 3.15 ซึ่งอยู่ในเกณฑ์ปกติของปูนซีเมนต์ปอร์ตแลนด์ทั่วไปตามมาตรฐาน ASTM C150 ที่มีค่าอยู่ระหว่าง 3.00 ถึง 3.20 ความละเอียดของปูนซีเมนต์ปอร์ตแลนด์ประเภทที่ 1 มีค่า

น้ำหนักค้างบนตะแกรงเบอร์ 325 เท่ากับร้อยละ 20 พื้นที่ผิวจำเพาะวิธีของเบลนเท่ากับ $3,250 \text{ } \mu\text{m}^2/\text{g}$. และมีค่าเฉลี่ยของอนุภาค (d_{50}) ที่ทดสอบจากการร่อนผ่านตะแกรงมาตรฐาน เท่ากับ 25 ไมโครเมตร ส่วนองค์ประกอบทางเคมีของปูนซีเมนต์ปอร์ตแลนด์ประเภทที่ 1 มีออกไซด์หลัก ได้แก่ แคลเซียมออกไซด์ (CaO) ซิลิกา (SiO_2) อะลูมินา (Al_2O_3) และเฟอร์ริกออกไซด์ (Fe_2O_3) รวมกันได้ร้อยละ 96.29 (ตารางที่ 1)

มาตรฐาน

การศึกษาครั้งนี้ใช้รายละเอียดเป็นมาตรฐานและเกี่ยด โดยมีค่ามาตรฐานเดียวกับ 2.75 และความถ่วงจำเพาะเท่ากับ 2.62 ส่วนมวลรวมหมายใช้ Hinrichsen ให้สูดเท่ากับ 19 มม. มีค่ามาตรฐานเดียวกับ 6.89 และมีความถ่วงจำเพาะเท่ากับ 2.73 ร้อยละการคงดูดซึมน้ำของมวลรวมหมายและมวลรวมละเอียดเท่ากับ 0.45 และ 0.91 ตามลำดับ

ตารางที่ 1 องค์ประกอบทางเคมีของวัสดุประสาน

องค์ประกอบทางเคมี (%)	ปูนซีเมนต์ปอร์ตแลนด์ประเภทที่ 1	เด้าถ่านหิน
Silicon Dioxide, SiO_2	21.52	35.12
Aluminum Oxide, Al_2O_3	3.56	21.51
Iron Oxide, Fe_2O_3	4.51	17.71
Calcium Oxide, CaO	66.70	17.15
Magnesium Oxide, MgO	1.06	-
Sodium Oxide, Na_2O	0.10	0.69
Potassium Oxide, K_2O	0.24	1.59
Sulfur Trioxide, SO_3	2.11	2.13
Loss On Ignition, LOI	1.74	0.11

การเตรียมตัวอย่างและการทดสอบ

การเตรียมตัวอย่างเพื่อทดสอบการแทรกซึมของคลอไรด์ในคอนกรีตโดยวิธี Bulk diffusion test

การเตรียมตัวอย่างเพื่อทดสอบความสามารถในการต้านทานการแทรกซึมของคลอไรด์ในคอนกรีตโดยวิธี Bulk diffusion test (ASTM C1556) ได้ใช้ส่วนผสมคอนกรีตเดียวกันกับกลุ่มที่แข็งในน้ำทะเลเมื่อ 12 ปี ที่แล้ว ซึ่งเป็นคอนกรีตของปูนซีเมนต์ปอร์ตแลนด์ประเภทที่ 1 ที่มีอัตราส่วนน้ำต่อวัสดุประสานเท่ากับ 0.45 0.55 และ 0.65 โดยแต่ละอัตราส่วนน้ำต่อวัสดุประสานแทนที่เด้าถ่านหินจากโรงไฟฟ้าแม่مهะในปูนซีเมนต์ปอร์ตแลนด์ประเภทที่ 1 ในอัตราส่วนร้อยละ 0 15 25 35 และ 50 โดยน้ำหนักวัสดุประสาน (ตารางที่ 2) หล่อตัวอย่างทดสอบทวงกระบอกขนาดเส้นผ่าศูนย์กลาง 100 มม. สูง 200 มม. และตัดตัวอย่างทดสอบให้มีความหนาประมาณ 60 มม. หลังจากนั้นเคลือบอีพอกซี่ที่ขอบของตัวอย่างทั้งหมดโดยเปิดไฟ 1 ด้าน เพื่อให้เกลือคลอไรด์แทรกซึมเข้าไปในทิศทางเดียว และบ่มตัวอย่างคอนกรีต เป็นเวลา 28 วัน จากนั้นแช่ในสารละลายโซเดียมคลอไรด์ (NaCl) เข้มข้น 2.8 มอลาร์ เป็นเวลา 35 วัน ก่อนทดสอบความสามารถในการต้านทานคลอไรด์

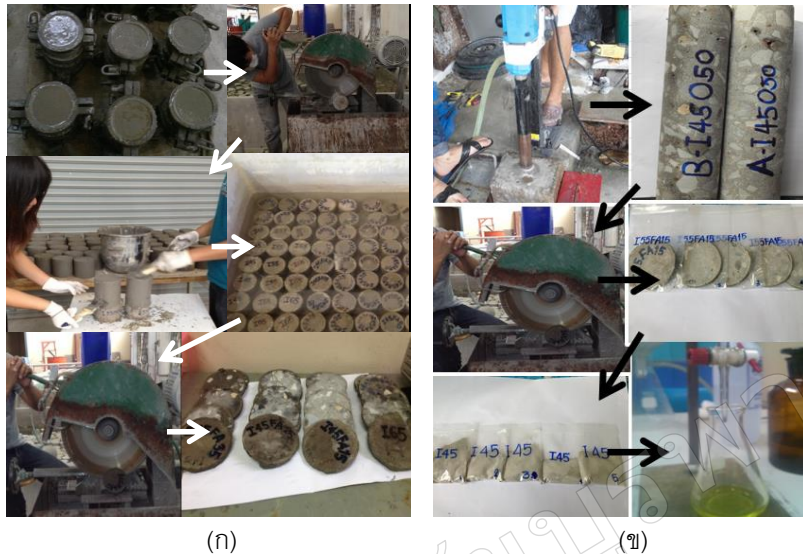
ที่วัดในรูปของกราฟการแทรกซึมของคลอไรด์ในคอนกรีต ซึ่งตัดตัวอย่างคอนกรีตเป็นชิ้นๆ หนาชั้นละ 10 มม. หลังจากนั้นนำคอนกรีตแต่ละชิ้นมาบดให้ละเอียดและนำผงคอนกรีตส่วนที่ผ่านตะแกรงมาตรฐานเบอร์ 20 ไปทดสอบหาปริมาณคลอไรด์โดยใช้น้ำเป็นตัวทำละลายตามมาตรฐาน ASTM C1218 โดยปริมาณคลอไรด์ที่ระดับความลึกต่างๆ ในแต่ละส่วนผสมได้จากค่าเฉลี่ยของการทดสอบในคอนกรีต 3 ตัวอย่าง การเตรียมตัวอย่างเพื่อทดสอบการต้านทานการแทรกซึมของคลอไรด์โดยวิธี Bulk diffusion test แสดงดังภาพที่ 1(ก)

การเตรียมตัวอย่างเพื่อทดสอบการแทรกซึมของคลอไรด์ในคอนกรีตที่แช่ในน้ำทะเลเป็นเวลา 12 ปี

การทดสอบการแทรกซึมของคลอไรด์ในคอนกรีตที่แช่ในน้ำทะเล ได้นำตัวอย่างคอนกรีตที่ผ่านการทดสอบที่สมเก้าถ่านหินที่แช่ในน้ำทะเลเป็นเวลา 12 ปี มาเจาะบริเวณกึ่งกลางของห้องตัวอย่าง และนำแท่งคอนกรีตที่ได้จากการเจาะมาตัดเป็นชั้นตามระดับความลึกต่างๆ โดยให้ลึกลงไปประมาณ 80 มม. (ตัดตัวอย่างหนาชั้นละ 10 มม.) จากนั้นบดตัวอย่างคอนกรีตแต่ละชิ้นให้ละเอียด และนำผงคอนกรีตที่ผ่านตะแกรงเบอร์ 20 มาทดสอบปริมาณคลอไรด์ โดยใช้น้ำเป็นตัวทำละลายตามมาตรฐาน ASTM C 1218 การทดสอบการแทรกซึมของคลอไรด์ในคอนกรีตที่แช่ในน้ำทะเลที่อายุ 12 ปี แสดงดังภาพที่ 1(ข)

ตารางที่ 2 ส่วนผสมคอนกรีต

อัตราส่วนน้ำต่อ วัสดุประสาน (W/B)	ร้อยละการ แน่นที่เก้าถ่าน หิน	ส่วนผสมคอนกรีต (กก./ม. ³)				
		บุนซีเมนต์ประเภทที่ 1	เก้าถ่าน หิน	ทราย	หิน	น้ำ
0.45	0	478	0	639	1024	215
	15	406	72	639	1004	215
	25	359	119	639	990	215
	35	311	167	639	977	215
	50	239	239	639	957	215
0.55	0	478	0	639	971	262
	15	406	72	639	948	262
	25	359	119	639	933	262
	35	311	167	639	918	262
	50	239	239	639	897	262
0.65	0	478	0	639	922	311
	15	406	72	639	898	311
	25	359	119	639	881	311
	35	311	167	639	864	311
	50	239	239	639	840	311

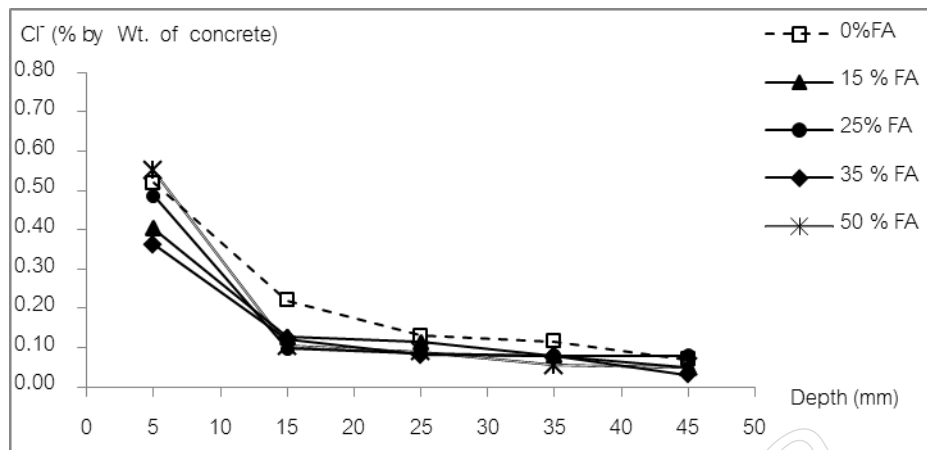


ภาพที่ 1 การเตรียมตัวอย่างคอนกรีตโดย ก) การเตรียมตัวอย่างเพื่อทดสอบการต้านทานการแทรกซึมของคลอไรด์โดยวิธี Bulk diffusion test ข) การทดสอบการแทรกซึมของคลอไรด์ในคอนกรีตที่แข็งในน้ำทะเลที่อายุ 12 ปี

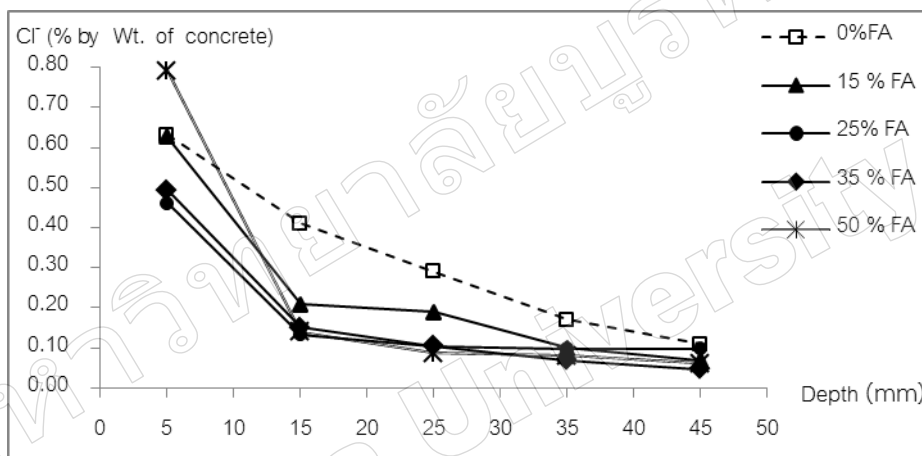
ผลการวิจัยและวิชาการณ์ผล

ผลของเด็กถ่านหินต่อการแทรกซึมของคลอไรด์ที่ทดสอบโดยวิธี Bulk diffusion test

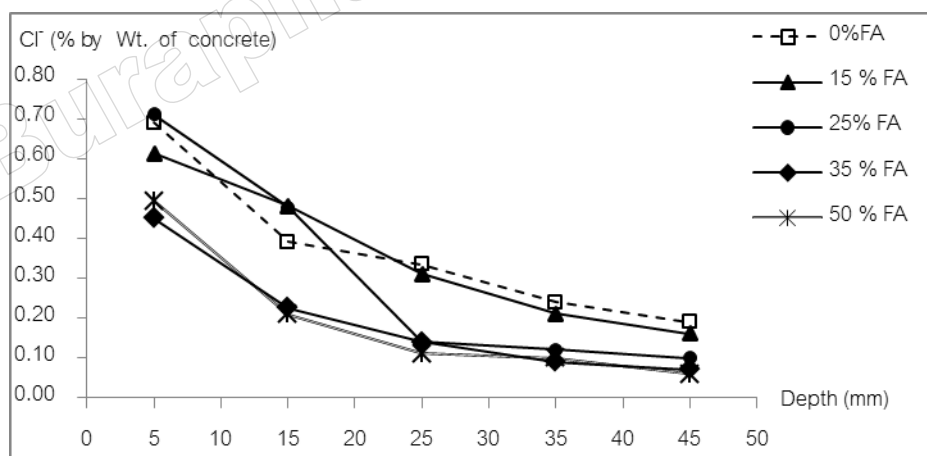
พิจารณาผลของเด็กถ่านหินต่อการแทรกซึมของคลอไรด์ในคอนกรีต ที่ทดสอบโดยวิธี Bulk diffusion test ดังภาพที่ 2 พบว่า การใช้เด็กถ่านหินในปริมาณที่มากขึ้น ผลให้การแทรกซึมของคลอไรด์มีค่าลดลง โดยมีแนวโน้มเมื่อกันในทุกอัตราส่วนน้ำต่อวัสดุปูร่องรอย เช่น คอนกรีตที่มีอัตราส่วนน้ำต่อวัสดุปูร่องรอยเท่ากับ 0.45 ผสมเด็กถ่านหินในอัตราส่วนร้อยละ 0 15 25 35 และ 50 โดยน้ำหนักวัสดุปูร่องรอย มีปริมาณคลอไรด์ที่ระดับความลึก 25 มม. หลังแร่สารละลายโซเดียมคลอไรด์เข้มข้น 2.8 มอลาร์ เป็นเวลา 35 วัน เท่ากับร้อยละ 0.13 0.11 0.09 0.08 และ 0.07 ตามลำดับ แสดงให้เห็นว่าปฏิกิริยาปูร่องรอยคลอไรด์ที่เด็กถ่านหินกับแคลเซียมไฮดรอกไซด์ที่เป็นผลิตภัณฑ์ของปฏิกิริยาไฮเดรชั่น สงผลดีต่อคุณสมบัติทางด้านความคงทนของคอนกรีต โดยสามารถลดการแทรกซึมของคลอไรด์ลงได้ ทั้งนี้เนื่องจากซิลิกาและอลูมิเนียมในเด็กถ่านหินเกิดปฏิกิริยาปูร่องรอยคลอไนท์ทำให้ได้แคลเซียมซิลิเกตไฮเดรต ($C-S-H$) และแคลเซียมอลูมิเนียมไฮเดรต ($C-A-H$) ซึ่งช่วยลดช่องว่างในชีเมนต์ เพสต์ลงและคอนกรีตมีความทึบนำมากขึ้น (Neville, 1996; Sata *et al.*, 2012)



n) W/B = 0.45



ณ) W/B = 0.55

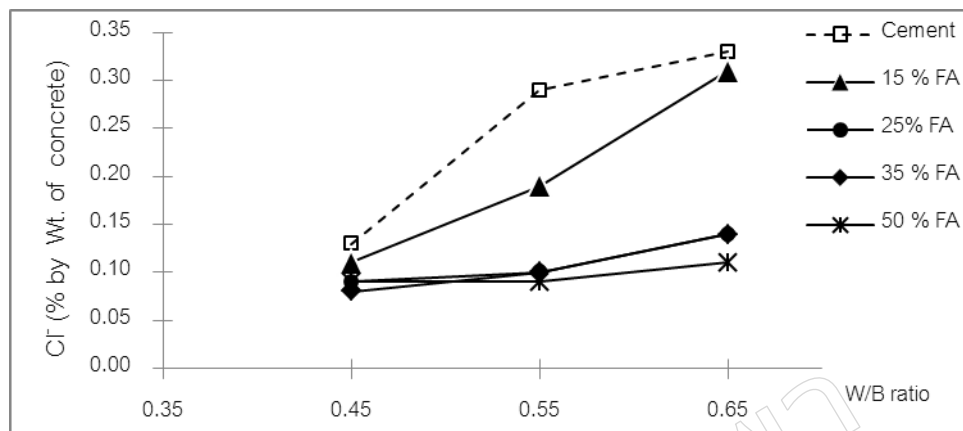


ค) W/B = 0.65

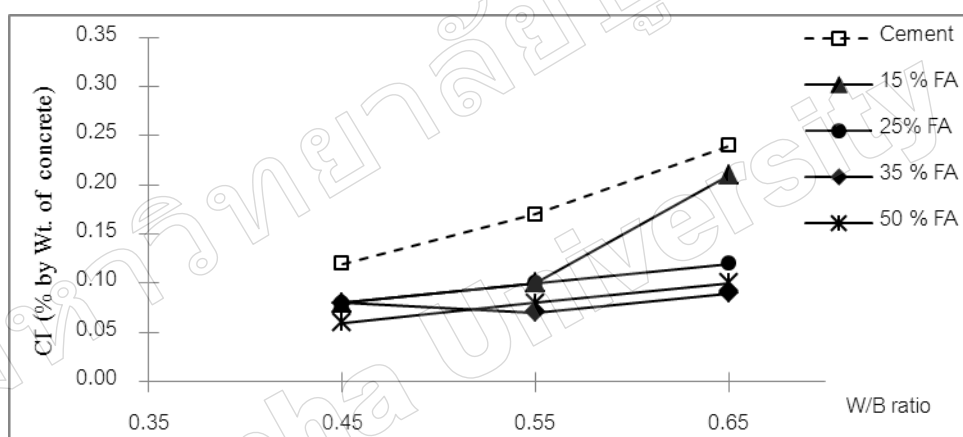
ภาพที่ 2 การแทรกซึมของคลอร์ไนโตรเจนในคอนกรีตที่ทดสอบโดยวิธี Bulk diffusion test

ผลของอัตราส่วนน้ำต่อวัสดุประสานต่อการแทรกซึมของคลอไรด์ในคอนกรีตที่ทดสอบโดยวิธี Bulk diffusion test

เมื่อพิจารณาผลของอัตราส่วนน้ำต่อวัสดุประสานต่อการแทรกซึมของคลอไรด์ในคอนกรีตที่ทดสอบโดยวิธี Bulk diffusion test ดังแสดงในภาพที่ 3 พบว่า อัตราส่วนน้ำต่อวัสดุประสานที่ต่ำลง ส่งผลให้การแทรกซึมของคลอไรด์ที่ระดับความลึกต่างๆ ลดลงและมีแนวโน้มเหมือนกันในทุกอัตราส่วนการแทนที่ได้รับการเปลี่ยนแปลงอัตราส่วนน้ำต่อวัสดุประสาน มีผลต่อการเปลี่ยนแปลงปริมาณคลอไรด์ในคอนกรีตรวมดามากกว่าคอนกรีตที่ผสมเด้าถ่านหิน เช่น การลดอัตราส่วนน้ำต่อวัสดุประสานลงจาก 0.55 เป็น 0.45 ส่งผลให้ปริมาณคลอไรด์ที่ระดับความลึก 25 มม. (ภาพที่ 3(ก)) ในคอนกรีตธรรมดอลดลงร้อยละ 0.16 (ลดลงจาก 0.29 ในคอนกรีตที่มี W/B = 0.55 เป็น 0.13 ในคอนกรีตที่มี W/B = 0.45) ส่วนคอนกรีตที่ผสมเด้าถ่านหินร้อยละ 50 โดยน้ำหนักวัสดุประสานพบว่าการลดลงของอัตราส่วนน้ำต่อวัสดุประสานจาก 0.55 เป็น 0.45 ส่งผลให้ปริมาณคลอไรด์ที่ระดับความลึกเดียวกันลดลงแค่ร้อยละ 0.08 (ลดลงจาก 0.19 ในคอนกรีตที่มี W/B = 0.55 เป็น 0.11 ในคอนกรีตที่มี W/B = 0.45) และมีแนวโน้มเหมือนกันกับปริมาณคลอไรด์ที่แทรกซึมที่ระดับความลึก 35 มม. ดังแสดงในภาพที่ 3(ข) อัตราส่วนน้ำต่อวัสดุประสานมีผลต่อการลดลงของคลอไรด์ที่แทรกซึมในคอนกรีตรวมดามากกว่าคอนกรีตที่ผสมเด้าถ่านหิน เป็นผลจากความทึบน้ำในคอนกรีตธรรมดายืนกับอัตราส่วนน้ำต่อวัสดุประสานเป็นหลัก โดยปริมาณน้ำในส่วนผสมคอนกรีตที่ลดลง ส่งผลให้กำลังอัดของคอนกรีตธรรมดางามสูงขึ้นอย่างชัดเจน ซึ่งทำให้คอนกรีตมีความทึบน้ำและลดการแทรกซึมของคลอไรด์ในคอนกรีตธรรมดายังคงได้ (Neville, 1996) ส่วนคอนกรีตที่ผสมเด้าถ่านหิน นอกจากที่ความทึบน้ำในคอนกรีตจะยังกับอัตราส่วนน้ำต่อวัสดุประสานแล้ว ยังขึ้นกับลักษณะทางเคมีและทางกายภาพของเด้าถ่านหินด้วย (Neville, 1996 ; Chindaprasirt et al., 2005 ; Chalee et al., 2009 ; Sata et al., 2012) โดยเด้าถ่านหินที่มีมวลอะเขียวดูสูงและมีองค์ประกอบทางเคมีที่ประกอบด้วย จิลิกา อลูมินาและเฟอริเกอกอไชร์ด ในปริมาณสูงจะทำให้เกิดปฏิกิริยาปอชโซลาน ที่ส่งผลในเกิดความทึบน้ำในคอนกรีตและสามารถต้านทานการแทรกซึมของคลอไรด์ได้ดี (Chalee et al., 2009 ; Sata et al., 2012) ซึ่งในการศึกษาครั้นี้ใช้เด้าถ่านหินแม่เมะที่มีอนุภาคกลมตัน และมีมวลอะเขียวดูค่อนข้างสูงผ่านเกณฑ์มาตรฐานตาม ASTM C 618 ซึ่งทำให้เกิดปฏิกิริยาปอชโซลานได้ค่อนข้างสมบูรณ์ ดังนั้นการใช้เด้าถ่านหินผสมในคอนกรีตในปริมาณที่สูงขึ้นจริงมีผลให้อัตราส่วนน้ำต่อวัสดุประสานมีผลต่อการต้านทานการแทรกซึมของคลอไรด์น้อยลง โดยผลการศึกษาครั้นี้พบว่า อัตราส่วนน้ำต่อวัสดุประสานที่ลดลงในคอนกรีตที่ใช้เด้าถ่านหินในปริมาณที่สูงขึ้น มีผลต่อการต้านทานการแทรกซึมของคลอไรด์ได้น้อยลง เช่น คอนกรีตที่ผสมเด้าถ่านหินร้อยละ 0 15 25 35 และ 50 โดยน้ำหนักวัสดุ เมื่ออัตราส่วนน้ำต่อวัสดุประสานลดลงจาก 0.55 เป็น 0.45 ส่งผลให้ปริมาณคลอไรด์ที่ระดับความลึก 25 มม. ลดลงเท่ากับ 0.16 0.08 0.01 0.02 และ 0 ตามลำดับ ซึ่งผลการศึกษาดังกล่าวเนี้ย สอดคล้องกับคอนกรีตที่ผสมเด้าถ่านหินที่แข็งในสิ่งแวดล้อมทะเลในงานวิจัยที่ผ่านมา (Chalee et al., 2009)



ก) ความลึก 25 มม.



ข) ความลึก 35 มม.

ภาพที่ 3 ผลของอัตราส่วนน้ำต่อวัสดุประสานต่อการแทรกซึมของคลอร์ไนโตรเจนในคอนกรีตที่ทดสอบโดยวิธี Bulk diffusion test

การหาค่าสัมประสิทธิ์การแทรกซึมของคลอไรด์ในคอนกรีต

การหาค่าสัมประสิทธิ์การแทรกซึมของคลอไรด์ในคอนกรีตที่ทดสอบโดยวิธี Bulk diffusion test (D_{CB}) และหลังแข็ง化 ทະเดเป็นเวลา 12 ปี (D_C) ได้ใช้กฎการแพร่ข้อที่สองของฟิก (Fick's second law) ดังแสดงในสมการที่ (1)

$$\frac{\partial C}{\partial t} = D_{CB} \frac{\partial^2 c}{\partial x^2} \quad (1)$$

เมื่อค่า D_{CB} ในสมการที่ (1) เป็นค่าคงที่ คำตอบทั่วไปของสมการที่ (1) แสดงดังสมการที่ (2)

$$C_{x,t} = C_0 \left[1 - erf \left(\frac{x}{2\sqrt{D_{CB}t}} \right) \right] \quad (2)$$

เมื่อ $C_{x,t}$ = ปริมาณคลอไรด์ทั้งหมด (โดยน้ำหนักวัสดุประมาณ) ที่ระดับความลึก x และระยะเวลาในการแข็ง化 t

x = ระยะจากหน้าผิวคอนกรีต (มม.)

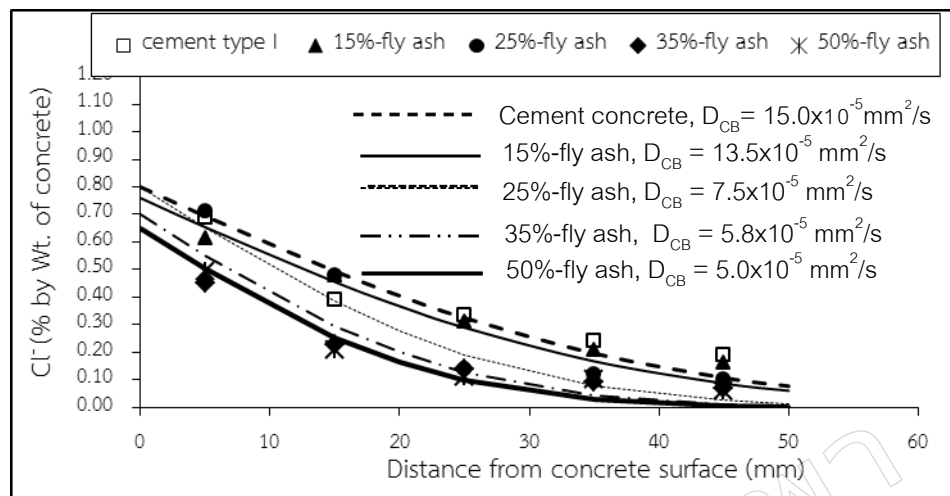
t = ระยะเวลาที่แข็ง化 (วินาที)

C_0 = ความเข้มข้นของคลอไรด์ที่ผิวคอนกรีต (ที่ $x = 0$) ที่ระยะเวลา t

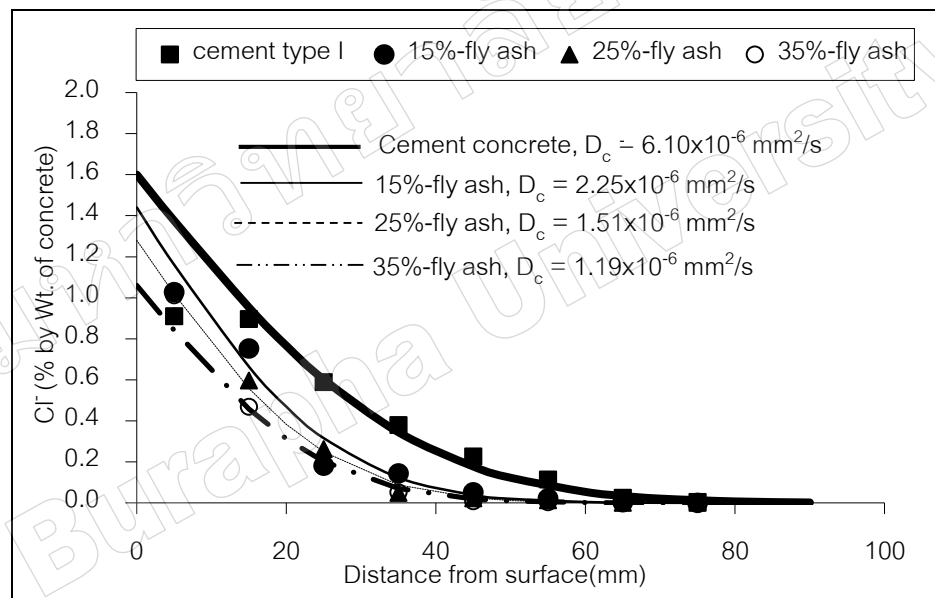
D_{CB} = สัมประสิทธิ์การแทรกซึมของคลอไรด์ ที่ระยะเวลา t ที่ทดสอบโดยวิธี Bulk diffusion test (มม.²/วินาที)

erf = ฟังก์ชันค่าผิดพลาด (Error function)

ทำการปรับค่า D_{CB} และ C_0 ในสมการที่ (2) เพื่อให้กราฟสอดคล้องกับข้อมูลการแทรกซึมของคลอไรด์ส่วนผสมต่างๆ มากที่สุด ดังภาพที่ 4(ก) ที่แสดงการหาค่า D_{CB} และ C_0 โดยใช้สมการที่ (2) ในข้อมูลการแทรกซึมของคลอไรด์ในคอนกรีต ที่มีอัตราส่วนน้ำต่อวัสดุประมาณ 0.65 ที่ทดสอบโดยวิธี Bulk diffusion test ส่วนค่าสัมประสิทธิ์การแทรกซึมของคลอไรด์ในคอนกรีตที่แข็ง化 ทະเดเป็นเวลา 12 ปี หาได้ในลักษณะเดียวกัน (ภาพที่ 4(ข)) โดยแทนค่า D_{CB} ด้วย D_C และปรับค่า D_C ในสมการที่ (2) ให้กราฟสอดคล้องกับข้อมูลการแทรกซึมของคลอไรด์ในคอนกรีตที่แข็ง化 ทະเดเป็นเวลา 12 ปี โดยตารางที่ 3 แสดงค่าสัมประสิทธิ์การแทรกซึมของคลอไรด์ในคอนกรีตที่ทดสอบโดยวิธี Bulk diffusion test และที่แข็ง化 ทະเดเป็นเวลา 12 ปี



ก) การแทรกซึมของคลอไรด์ในคอนกรีตที่มี $\text{W/B} = 0.65$ ที่ทดสอบโดยวิธี Bulk diffusion test



ข) การแทรกซึมของคลอไรด์ในคอนกรีตที่มี $\text{W/B} = 0.55$ หลังจาก 12 เดือน

ภาพที่ 4 ภาชนะค่าสัมประสิทธิ์การแทรกซึมของคลอไรด์จากข้อมูลการแทรกซึมของคลอไรด์ในคอนกรีต

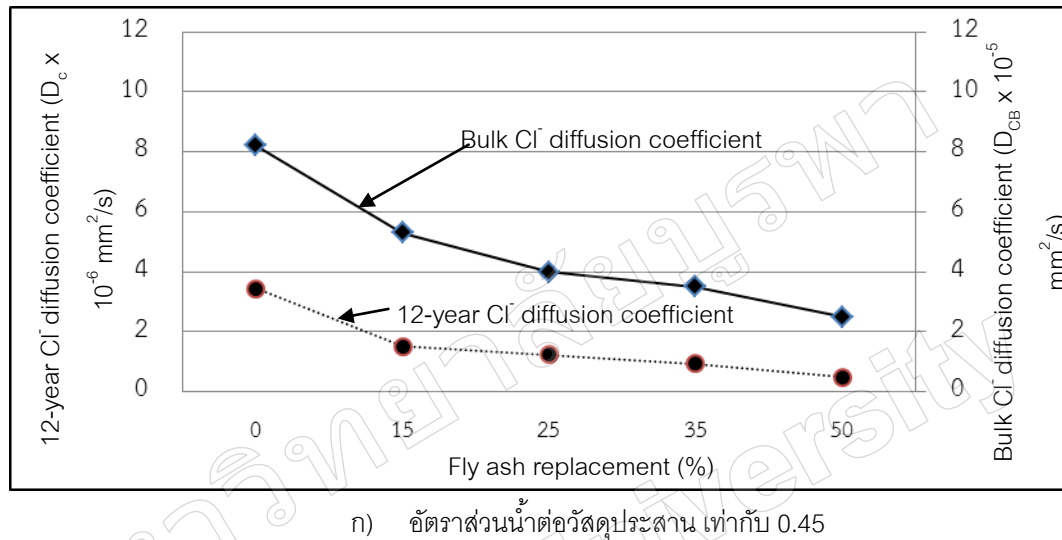
ตารางที่ 3 สัมประสิทธิ์การแทรกซึมของคลอไรด์ในคอนกรีตที่ทดสอบโดยวิธี Bulk diffusion test (D_{CB}) และหลังแข่น้ำหน้าทະเด เป็นเวลา 12 ปี (D_C)

ส่วนผสม	สัมประสิทธิ์การแทรกซึมของคลอไรด์ ($\text{มม}^2/\text{วินาที}$)	
	$D_{CB} \times 10^{-6}$	$D_C \times 10^{-6}$
I45	82.00	3.45
I45FA15	53.00	1.51
I45FA25	40.00	1.23
I45FA35	35.00	0.93
I45FA50	25.00	0.49
I55	105.00	6.10
I55FA15	75.00	2.25
I55FA25	65.00	1.51
I55FA35	52.00	1.19
I55FA50	35.00	0.63
I65	150.00	7.12
I65FA15	135.00	2.53
I65FA25	75.00	2.05
I65FA35	58.00	1.71
I65FA50	50.00	1.19

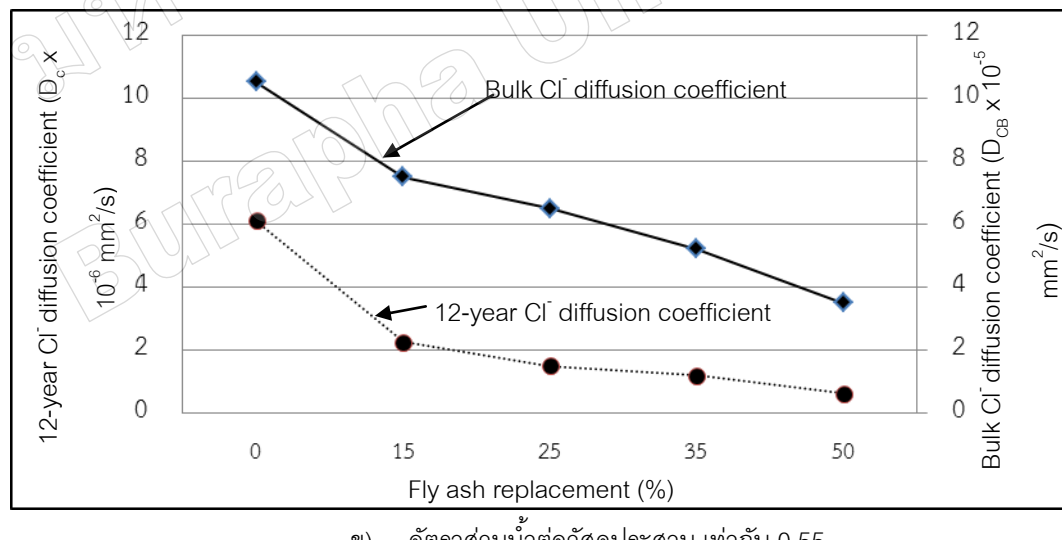
ผลของเด็กถ่านหินต่อสัมประสิทธิ์การแทรกซึมของคลอไรด์ที่ทดสอบโดยวิธี Bulk diffusion test และที่แข่น้ำหน้าทະเด 12 ปี

เมื่อพิจารณาสัมประสิทธิ์การแทรกซึมของคลอไรด์ที่ทดสอบโดยวิธี Bulk diffusion test (D_{CB}) ในคอนกรีตที่ผสมเด็กถ่านหิน ที่มีอัตราส่วนน้ำต่อวัสดุปะสำนเภาเท่ากับ 0.45 0.55 และ 0.65 เทียบกับสัมประสิทธิ์การแทรกซึมของคลอไรด์ในคอนกรีต หลังแข่น้ำหน้าทະเดเป็นเวลา 12 ปี (D_C) ดังภาพที่ 5 พบว่า การใช้เด็กถ่านหินแทนที่ปูนซีเมนต์ปอร์ตแลนด์ประเภทที่ 1 ในปริมาณที่สูงขึ้น ยังคงให้สัมประสิทธิ์การแทรกซึมของคลอไรด์ในคอนกรีตที่ทดสอบโดยวิธี Bulk diffusion test มีแนวโน้มลดลง และมีทิศทางเดียวกับสัมประสิทธิ์การแทรกซึมของคลอไรด์ในคอนกรีตหลังแข่น้ำหน้าทະเด 12 ปี เนื่องจากคอนกรีตที่ผสมเด็กถ่านหินในปริมาณที่สูงขึ้น ปฏิกิริยาปอซิโซลันในระยะเวลาภัยมีผลทำให้คอนกรีตมีความทึบเนื้า และลดอัตราการแทรกซึมของคลอไรด์หลังแข่น้ำหน้าทະเดเป็นเวลา 12 ปี ได้ (Chindaprasirt et al., 2005 ; Chalee et al., 2009) การผสมเด็กถ่านหินสามารถลดอัตราการแทรกซึมของคลอไรด์เข้าไปในคอนกรีตได้อย่างชัดเจน โดยการแทนที่เด็กถ่านหินในปริมาณที่สูงขึ้นทำให้ D_{CB} และ D_C มีค่าลดลงเป็นแนวโน้มในทางเดียวกัน ซึ่งแสดงให้เห็นว่า การทดสอบในห้องปฏิบัติการ (ระยะสั้น) และผลทดสอบในภาคสนามที่เป็นสิ่งแวดล้อมจริง (ระยะยาว) มีผลทดสอบที่สอดคล้องกัน โดยจะเห็นได้ว่า D_{CB} มีแนวโน้มเดียวกับ D_C แต่มีค่าสูงกว่าค่อนข้างมาก เนื่องจากสารละลายคลอไรด์ที่ใช้แข่นตัวอย่างคอนกรีตโดยวิธี

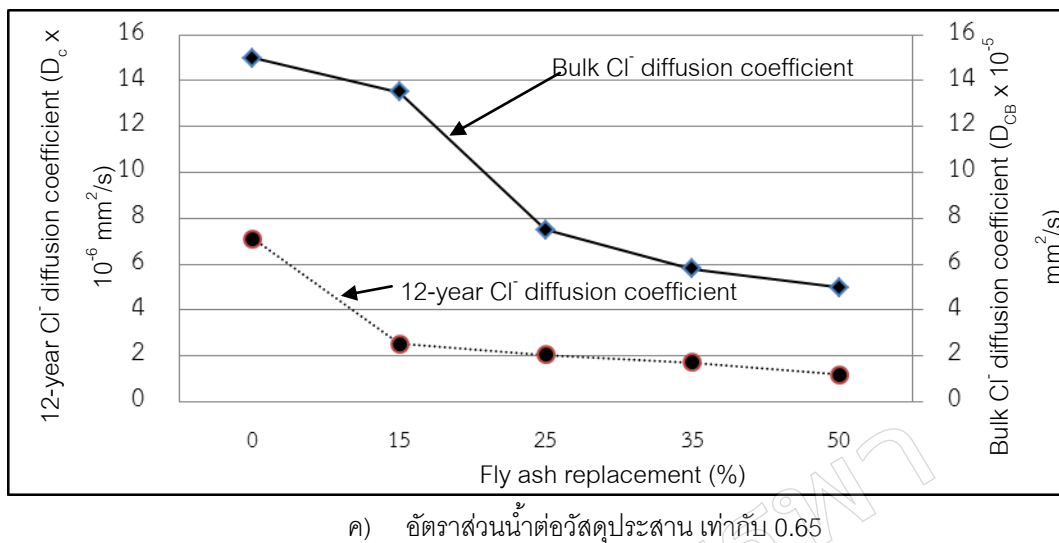
Bulk diffusion test มีความเข้มข้นสูงถึง 2.8 มิลาร์ และสูงกว่าความเข้มข้นของเกลือคลอไรด์ในน้ำทะเลที่แข็งตัวอย่างทดสอบในภาคสนามที่มีความเข้มข้นของคลอไรด์ประมาณ 0.50 มิลาร์ (Chalee et al., 2010) จึงส่งผลให้อัตราการแทรกซึมของคลอไรด์ที่วัดในรูปแบบประสีทิกการแทรกซึมของคลอไรด์สูงกว่ากลุ่มที่แข็งในน้ำทะเลอย่างชัดเจน โดยการทดสอบวิธี Bulk diffusion test กับส่วนประสีทิกการแทรกซึมของคลอไรด์ สามารถเป็นข้อมูลเบื้องต้นในการพิจารณาส่วนประสีทิกการแทรกซึมของคลอไรด์ในระยะยาวภายใต้สิ่งแวดล้อมทะเล จากผลทดสอบ Bulk diffusion test ที่อายุ 35 วัน ได้



ก) อัตราส่วนน้ำต่อวัสดุประสานเท่ากับ 0.45



ข) อัตราส่วนน้ำต่อวัสดุประสานเท่ากับ 0.55



ค) อัตราส่วนน้ำต่อวัสดุประสาน เท่ากับ 0.65

ภาพที่ 5 ผลของถ้าถ่านหินต่อสัมประสิทธิ์การแทรกซึมของคลอไรด์ที่ทดสอบโดยวิธี Bulk diffusion test (D_{CB}) กับสัมประสิทธิ์การแทรกซึมของคลอไรด์ในคอนกรีตหลังแข็งในสิ่งแวดล้อมทະเดเป็นเวลา 12 ปี (D_c)

การประเมินการแทรกซึมของคลอไรด์ในคอนกรีตระยะยาวจากผลทดสอบ Bulk diffusion test

การประเมินค่าสัมประสิทธิ์การแทรกซึมของคลอไรด์ในคอนกรีตที่แข็งในน้ำทະเดเป็นเวลา 12 ปี จากผลทดสอบโดยวิธี Bulk diffusion test สามารถประเมินคุณสมบัติต้านความคงทนของคอนกรีตในระยะยาว จากผลการทดสอบระยะสั้นในคอนกรีตที่ผสมถ้าถ่านหินร้อยละ 0 15 25 35 และ 50 โดยนำหนักรากวัสดุประสาน ที่มีอัตราส่วนน้ำต่อวัสดุประสานเท่ากับ 0.45 0.55 และ 0.65 ดังภาพที่ 6 โดยใช้หลักการวิเคราะห์เชิงถดถอย (regression analysis) ได้ความสัมพันธ์ระหว่างสัมประสิทธิ์การแทรกซึมของคลอไรด์ที่ทดสอบโดยวิธี Bulk diffusion test (D_{CB}) กับสัมประสิทธิ์การแทรกซึมของคลอไรด์ในคอนกรีตหลังแข็งในสิ่งแวดล้อมทະเดเป็นเวลา 12 ปี (D_c) ในรูปแบบสมการเชิงเส้น (linear equation) ดังสมการที่ (3) ถึง (7)

$$D_c = 0.496 D_{CB} - 0.021 \quad (\text{คอนกรีตธรรมชาติ}) \quad (3)$$

$$D_c = 0.108 D_{CB} + 1.150 \quad (\text{คอนกรีตผสมถ้าถ่านหินร้อยละ 15}) \quad (4)$$

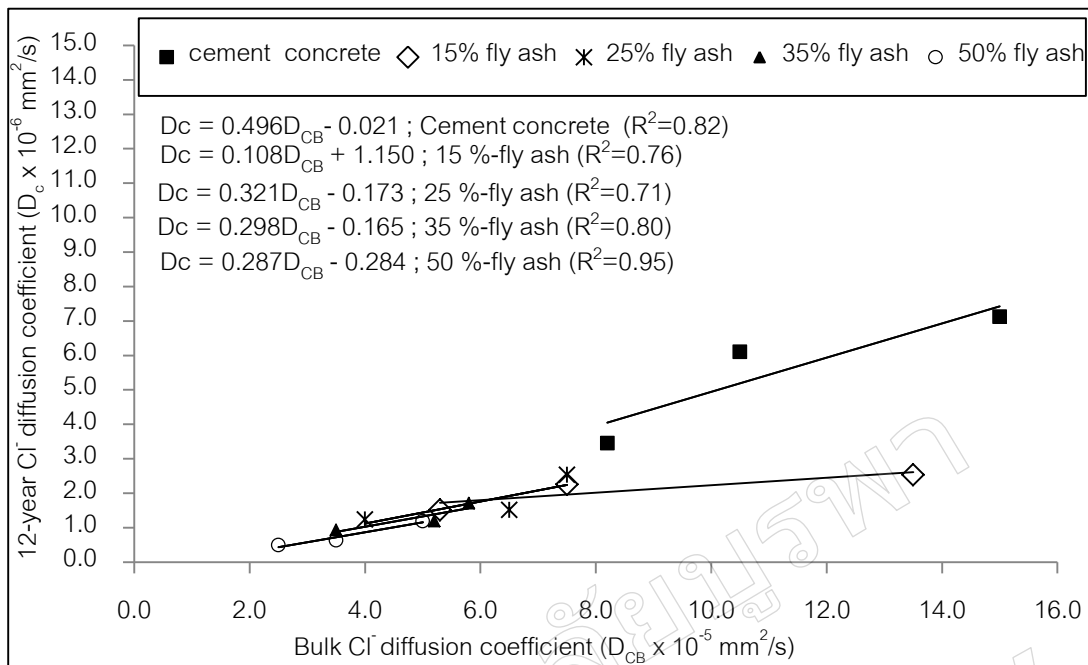
$$D_c = 0.321 D_{CB} - 0.173 \quad (\text{คอนกรีตผสมถ้าถ่านหินร้อยละ 25}) \quad (5)$$

$$D_c = 0.298 D_{CB} - 0.165 \quad (\text{คอนกรีตผสมถ้าถ่านหินร้อยละ 35}) \quad (6)$$

$$D_c = 0.287 D_{CB} - 0.284 \quad (\text{คอนกรีตผสมถ้าถ่านหินร้อยละ 50}) \quad (7)$$

เมื่อ D_c = สัมประสิทธิ์การแทรกซึมของคลอไรด์ในคอนกรีตหลังแข็งในสิ่งแวดล้อมทະเดเป็นเวลา 12 ปี ($\times 10^{-6}$ mm²/วินาที)

D_{CB} = สัมประสิทธิ์การแทรกซึมของคลอไรด์ที่ทดสอบโดยวิธี Bulk diffusion test ($\times 10^{-5}$ mm²/วินาที)



ภาพที่ 6 ความสัมพันธ์ระหว่างสัมประสิทธิ์การแทรกซึมของคลอไรด์ในคอนกรีตที่แข็งน้ำทะลุเป็นเวลา 12 ปี D_c กับสัมประสิทธิ์การแทรกซึมของคลอไรด์ที่ทดสอบโดยวิธี Bulk diffusion test (D_{CB})

สรุปผลการวิจัย

ผลการศึกษาสรุปได้ดังนี้

- การใช้ถ่านหินแทนที่ปูนซีเมนต์ปอร์ตแลนด์ประเภทที่ 1 ในปริมาณที่สูงขึ้น ให้ค่าสัมประสิทธิ์การแทรกซึมของคลอไรด์ที่ทดสอบโดยวิธี Bulk diffusion test มีแนวโน้มลดลงและมีพิษทางเดียวกับค่าสัมประสิทธิ์การแทรกซึมของคลอไรด์ในคอนกรีต หลังจากผ่านกิจกรรมน้ำทะลุเป็นเวลา 12 ปี
- คอนกรีตที่มีอัตราส่วนน้ำต่อวัสดุประสารต่ำลง สงผลให้การแทรกซึมของคลอไรด์ที่ทดสอบโดยวิธี Bulk diffusion test และที่แข็งน้ำทะลุเป็นเวลา 12 ปี ลดลง โดยการลดลงของอัตราส่วนน้ำต่อวัสดุประสาร มีผลต่อการลดปริมาณคลอไรด์ในคอนกรีตรวมด้วยมากกว่าคอนกรีตที่ผสมถ่านหิน
- ความเข้มข้นของคลอไรด์ที่คอนกรีตสัมผัส มีผลต่อค่าสัมประสิทธิ์การแทรกซึมของคลอไรด์ในคอนกรีตอย่างชัดเจน โดยสัมประสิทธิ์การแทรกซึมของคลอไรด์ที่ได้จากการทดสอบโดยวิธี Bulk diffusion test (ตัวอย่างคอนกรีตแข็งในสารละลายโซเดียมคลอไรด์เข้มข้น 2.8 โมลาร์) มีค่าสูงกว่าสัมประสิทธิ์การแทรกซึมของคลอไรด์ในคอนกรีตที่แข็งในน้ำทะลุ (น้ำทะลุมีความเข้มข้นของสารละลายคลอไรด์ประมาณ 0.50 โมลาร์) ค่อนข้างมาก
- ข้อมูลจากการศึกษาครั้งนี้ สามารถประเมินสัมประสิทธิ์การแทรกซึมของคลอไรด์ในคอนกรีตรวมด้วยค่าและค่าคงที่ที่สมถูกต้องที่น้ำอยู่ 15, 25, 35 และ 50 โดยนำทันก้าวสัดประสาร หลังจากแข็งน้ำทะลุเป็นเวลา 12 ปี จากผลการทดสอบการแทรกซึมของคลอไรด์ในคอนกรีตที่ทดสอบโดยวิธี Bulk diffusion test ได้

กิตติกรรมประกาศ

ผู้เขียนขอขอบคุณ ทุนอุดหนุนการวิจัยงบประมาณเงินรายได้ (เงินอุดหนุนจากรัฐบาล) มหาวิทยาลัยบูรพา ประจำปีงบประมาณ 2557

เอกสารอ้างอิง

- ASTM C1556.(2008). Standard Test Method for Determining the Apparent Chloride Diffusion Coefficient of Cementitious Mixtures by Bulk Diffusion. *Annual Book of ASTM Standards; V. 04.02.*
- ASTM C1218. (2008). Standard test method for water-soluble chloride in mortar and concrete. *Annual Book of ASTM Standards; V. 04.02.*
- ASTM C618. (1997). Standard Specification for Coal Fly Ash and Raw or Calcined Natural Pozzolan for Use in Concrete, fly ash, natural pozzolan, pozzolans. *Annual Book of ASTM Standards; V. 04.01.*
- ASTM C150.(1997). Standard Specification for Portland Cement. *Annual Book of ASTM Standards; V. 04.01.*
- Chalee, W., & Jaturapitakkul, C., (2009). Effect of W/B ratios and fly ash finenesses on chloride diffusion coefficient of concrete in marine environment. *Materials and Structures*, 42, 505 -514.
- Chalee, W., Ausapanit, P. & Jaturapitakkul, C.,(2010). Utilization of fly ash concrete in marine environment for long term design life analysis. *Materials and Design*, 31, 1242-1249.
- Cheewaket, C., Jaturapitakkul, C. & Chalee, W., (2012). Initial corrosion presented by chloride threshold penetration of concrete up to 10 year-results under marine site. *Construction and Building Materials*, 37, 693-698.
- Chindaprasirt, P., Jaturapitakkul, C. & Sinsiri, T., (2005). Effect of fly ash fineness on compressive strength and pore size of blended cement paste. *Cement and Concrete Composites*, 27, 425 -428.
- Crank, J., (1975). *The Mathematics of Diffusion*, 2nd, ed., Oxford Press, London.
- Dimitri Val, V., & Mark Stewart, G., (2003). Life Cycle Cost Analysis of Reinforced Concrete Structure in Marine Environments. *Structural Safety*, 25, 343-362.
- Kaushik, S. K. and Islam, S., 1995 "Suitability Of Sea Water for Mixing Structural Concrete Exposed to a Marine Environment," *Cement and Concrete Composites*, Vol. 17, pp. 177-185.
- Neville, A.M., (1996). *Properties of Concrete*, 4th ed., England, Addison Wesley
- Sata, V., Tangpagasit, J., Jaturapitakkul, C. & Chindaprasirt, P., (2012). Effect of W/B ratios on pozzolanic reaction of biomass ashes in Portland cement matrix. *Cement and Concrete Composites*, 34, 94 -100.